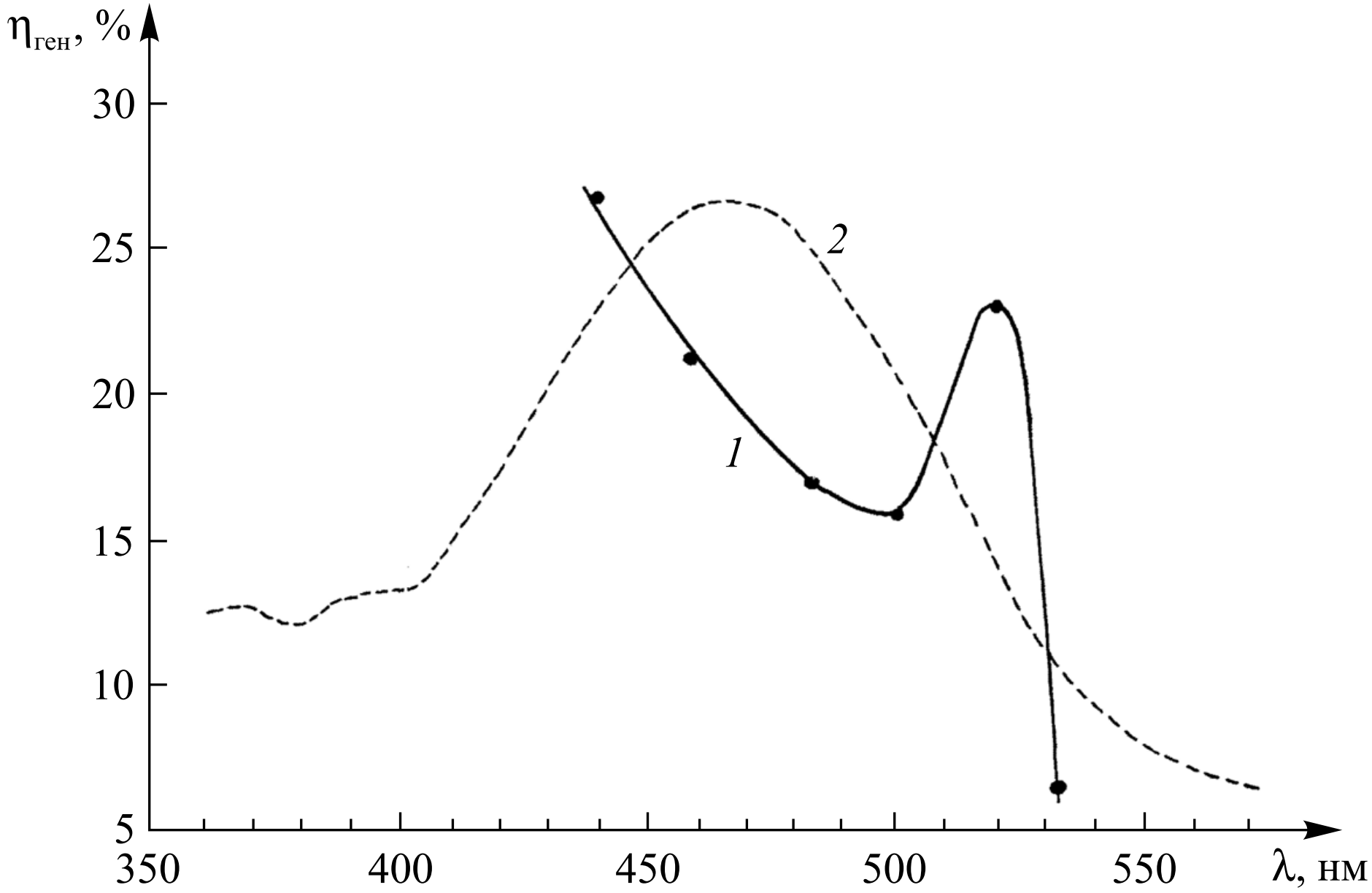

Рис. 8. Зависимость КПД генерации этанольного раствора DCM от длины волны накачки (*1*) и контур основной полосы поглощения (*2*)

Fig. 8. Dependence of the efficiency of generation of an ethanol solution of DCM on the pump wavelength (*1*) and contour of the main absorption band (*2*)